

Автореф
Г65 9

ОДЕССКИЙ ИНСТИТУТ НИЗКОТЕМПЕРАТУРНОЙ
ТЕХНИКИ И ЭНЕРГЕТИКИ

На правах рукописи

УДК 536.714:541.12.122

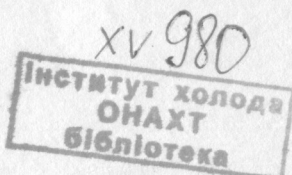
ГОНТАРУК Игорь Геннадьевич

ТЕРМОДИНАМИЧЕСКИЕ СВОЙСТВА ГАЗОНАСЫЩЕННОГО
ВОДНОГО ТЕПЛОНОСИТЕЛЯ

Специальность 05.14.05 – Теоретические основы теплотехники

А В Т О Р Е Ф Е Р А Т
диссертации наискание ученой степени
кандидата технических наук

Одесса - 1990



Работа выполнена в Одесском ордена Трудового Красного Знамени политехническом институте, научно-производственной ассоциации "ТРАНССОНИК".

Научный руководитель - доктор технических наук,
профессор В.В. Фисенко

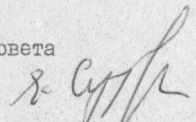
Официальные оппоненты - доктор технических наук,
профессор П.М. Кессельман;
- кандидат технических наук,
доцент В.А. Цымарский.

Ведущая организация - Высшее военно-морское инженерное
училище им. Ф.Э. Дзержинского,
г. Ленинград.

Защита состоится 29 " 10 1990 г. в 15⁰⁰
часов на заседании специализированного Совета К.068.27.01
при Одесском институте низкотемпературной техники и энергетики
по адресу: 270057, г. Одесса, ул. Петра Великого, 1/3.

С диссертацией можно ознакомиться в библиотеке института.

Автореферат разослан 29 " 09 1990 г.

Ученый секретарь
специализированного Совета
т.н., доцент  Р.К. Никульшин

Актуальность работы. Вода является прекрасным растворителем газов, и поэтому в технических процессах, как правило, приходится иметь дело не с чистой водой, а с водой, содержащей растворенный газ. Однако все теплотехнические расчеты энергетического и технологического оборудования с водным теплоносителем выполняются с использованием термодинамических свойств чистой воды, не учитывая влияние растворенного газа на эти свойства.

В ряде случаев это влияние оказывается весьма существенным, а в области предельного газонасыщения - определяющим для таких свойств как сжимаемость, скорость звука, показатель изоэнтропии. Это определяет актуальность исследования свойств газонасыщенного водного теплоносителя.

Отсутствие опытных данных о термодинамических свойствах системы вода-азот определило необходимость их экспериментального исследования.

Настоящая работа посвящена экспериментальному и расчетно-теоретическому исследованию термодинамических свойств растворов азота в воде и выполнялась в соответствии с координационным планом АН СССР по ГНПИ ГССД "Водные растворы", а также по плану ГКНТ СССР ОЦ.ООИ., задание Н.5.3 "Исследовать растворимость газа в теплоносителе ЯЭУ с целью повышения безопасности элементов ЯЭУ".

Цель и задачи исследования. Цель данной работы состоит в создании таблиц расчетных справочных данных термодинамических свойств водных растворов азота в области параметров состояния и концентраций, интересующих практическую энергетику.

Для достижения поставленной цели требовалось решить самостоятельные задачи:

- разработать методику и создать установку для экспериментального исследования термодинамических свойств сложных систем;
- получить экспериментальные ρ , ν , T , C - данные для растворов азота в воде в заданном диапазоне параметров состояния и концентраций;
- получить зависимость для расчета растворимости азота в воде на основании полученных и имеющихся в литературе данных;
- построить уравнение состояния, описывающее поведение растворов азота в воде и рассчитать таблицы термодинамических

- свойств для практического использования;
- выполнить экспериментальную проверку гипотезы о представлении реальной жидкости как смеси несжимаемой жидкости и ее собственного пара.

Научная новизна. Получены экспериментальные P , v , T , C -данные для растворов азота в воде. Построено единое уравнение состояния, описывающее термодинамические свойства как гомогенной двухкомпонентной системы вода - азот, так и ее составляющих.

Установлено, что механизм растворения азота и кислорода в воде удовлетворительно описывается моделью, основанной на представлении реальной жидкости как смеси несжимаемой жидкости и ее собственного пара.

Научные положения, защищаемые в работе:

1. Отклонения термодинамических свойств растворов азота в воде не превышают 10 % от значений соответствующих свойств чистой воды, причем основное изменение термодинамических свойств раствора происходит в диапазоне изменения концентраций азота в воде $0 \div 500$ н.см³/кг H_2O . Дальнейшее увеличение концентрации газа не приводит к существенному изменению термодинамических свойств.

2. Растворение газа в воде приводит к упорядочению структуры воды.

3. Теоретически и экспериментально обосновано представление жидкости как смеси несжимаемой жидкости и ее собственного пара.

Практическая ценность и реализация работы. Разработанные таблицы растворимости азота, кислорода и аргона в воде позволяют определять предельную концентрацию газов в воде как функцию от параметров состояния.

Разработанные таблицы термодинамических свойств растворов азота в воде учитывают реальное изменение свойств раствора в зависимости от концентрации растворенного газа. Таблицы растворимости и термодинамических свойств используются для расчета технологических процессов, протекающих в энергетическом и химическом оборудовании, а также систем безопасности и надежности энергетических установок. Результаты исследований использо-

ваны Горьковским отделением института Атомэнергопроект, Воронежской атомной станцией теплоснабжения, Ленинградским институтом ядерной физики для проектирования и расчета энергетического оборудования и систем безопасности.

Основные результаты работы.

1. Выполнен обзор и анализ литературных данных о влиянии растворенного газа на термодинамические свойства водного теплоносителя энергостанций, а также данных о растворимости азота, кислорода и аргона в воде.

2. Получены экспериментальные данные по плотности растворов $H_2O - N_2$ в диапазоне температур $(293 \div 500)$ К, давлений $(0,5 \div 3,0)$ МПа, концентраций $(0 \div 1300)$ н.см³ N_2 /кг H_2O .

3. Найдены зависимости растворимости азота, кислорода и аргона в воде от параметров состояния и рассчитаны таблицы в диапазоне: температур $(273 \div 613)$ К и давлений $(10^{-3} \div 100)$ МПа - для азота; $(273 \div 560)$ К и $(0,1 \div 21)$ МПа - для кислорода; $(273 \div 347)$ К и $(0,1 \div 70)$ МПа - для аргона.

4. По полученным данным построено уравнение состояния, описывающее термодинамические свойства растворов азота в воде в диапазоне температур $(273 \div 560)$ К; давлений $(0 \div 40)$ МПа и концентраций от 0 до предельной со среднеквадратичной погрешностью 0,2 % по плотности при максимальной 0,55 %.

5. Получено подтверждение правомерности представления реальной жидкости как смеси несжимаемой жидкости и ее собственного пара, что позволяет экстраполировать полученные результаты с достаточной достоверностью за пределы области параметров состояния, охваченных экспериментом.

6. По общепринятой методике рассчитаны таблицы термодинамических свойств растворов азота в воде в указанном диапазоне параметров состояния и концентраций.

Апробация работы. Основные результаты работы докладывались на: VII Всесоюзной конференции "Двухфазный поток в энергетических машинах и аппаратах" (г.Ленинград, 1985 г.), Всеобщей конференции молодых ученых "Тепломассообмен в энергетических установках и технологических агрегатах" (г.Днепропетровск, 1986 г.), II-м Всесоюзном совещании "Метастабильные фазовые состояния - теплофизические свойства и кинетика ре-

"лаксации" (г. Свердловск, 1989 г.), 20-22 научно-технических конференциях ОГИ.

Публикации. По теме диссертации опубликовано 5 печатных работ.

Структура и объем работы. Диссертация состоит из введения, трех глав, выводов, списка использованной литературы и приложений. Работа содержит 99 страниц машинописного текста, 26 рисунков и 7 таблиц. Список литературы включает 70 наименований.

СОДЕРЖАНИЕ РАБОТЫ

Во введении обосновывается актуальность выбранной темы исследования, формулируются цели и задачи работы, ее практическая ценность и научная новизна.

В первом разделе приведен краткий обзор и анализ экспериментальных исследований растворимости газов в воде. Даны обзор и критический анализ существующих методов расчета растворимости газов в жидкостях. Обсуждаются основные причины, препятствующие созданию универсального уравнения для расчета растворимости. Предлагается феноменологический подход для оценки растворимости газов в жидкостях и определения условий выделения газа в свободное состояние, основанный на представлении реальной жидкости как смеси нескимаемой жидкости и ее собственного пара.

На основании обзора и анализа работ о влиянии растворенного газа на термодинамические свойства, процессы теплообмена и гидродинамические процессы, протекающие в энергетическом оборудовании обосновывается необходимость экспериментального исследования термодинамических свойств газосодержащего водного теплоносителя.

Второй раздел посвящен описанию экспериментальной части работы.

Обосновывается необходимость получения ρ , σ , T , C -зависимости для растворов азота в воде, как наиболее полного источника сведений о термодинамических свойствах системы.

На основании анализа различных методов определения плотности жидкостей, с учетом особенностей исследуемой системы, обосновывается целесообразность использования метода пьезо-

метра постоянного объема. Детально описана разработанная и созданная экспериментальная установка, реализующая этот метод для исследования плотности гомогенной двухкомпонентной системы. Схема экспериментальной установки приведена на рисунке I.

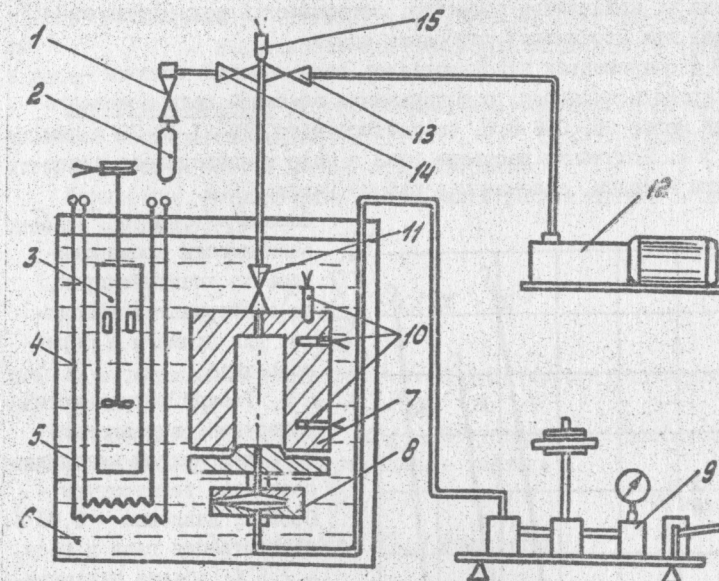


Рис. I. Схема экспериментальной установки
I - вентиль; 2 - заправочный баллончик; 3 - мешалка термостата;
4 - основной нагреватель; 5 - регулирующий нагреватель; 6 - термостат; 7 - пьезометр; 8 - мембранный блок; 9 - грузопоршневой манометр; 10 - термометры сопротивления; II - "горячий" вентиль пьезометра; 12 - вакуумный насос; 13, 14 - вентильная группа; 15 - термометр сопротивления.

Особенность подготовки эксперимента определялась необходимостью заполнения пьезометра жидкой и газообразной составляющей. Первоначально из мерного баллончика в отвакуумированный пьезо-

метр переконденсировалось заданное количество растворителя, подготовленного по специальной методике, аналогичной методике Александрова А.А. и Кремневской Е.А. После этого в пьезометр из такого же мерного баллончика подавался газ. Состав смеси определялся весовым методом как разность трех взвешиваний мерного баллончика на аналитических весах типа АДВ-200, с учетом поправки на количество вещества, оставшееся в подводящих капиллярах при параметрах состояния опыта.

В экспериментах использовались газы высокой чистоты – азот, аргон и кислород, с содержанием объемной доли основного газа не менее 99, 998 8 %, соответствующие ТУ6-21-12-79 с изм. № 1 и № 2. Получение раствора газа в воде производилось синтетическим методом, описанным в работе Циклиса С.Д.

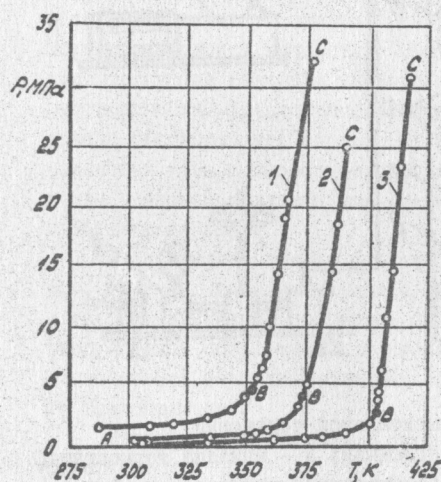


Рис.2. Зависимость ρ , v , T для системы $H_2O - N_2$

1,2,3 - $C = 413 \text{ н.} \cdot \text{см}^3/\text{кг} H_2O$;
 $1 - v = 1,0241 \cdot 10^{-3} \text{ м}^3/\text{кг}$;
 $2 - v = 1,0400 \cdot 10^{-3} \text{ м}^3/\text{кг}$;
 $3 - v = 1,0608 \cdot 10^{-3} \text{ м}^3/\text{кг}$.

Замеры ρ , v , T , C - зависимости производились на квазизохорах, по общепринятой методике, для прямого и обратного хода.

Расчет погрешностей измерений, выполненный по общепринятой методике, составил: температуры – 0,03 K; давления – 0,06 %; концентрация газа в воде – 2,5 %; объема пьезометра 0,03 %. С учетом этого среднегзвешенная погрешность определения плотности исследуемого вещества составила $3,05 \cdot 10^{-2} \%$.

В качестве примера для концентрации $C = 413 \text{ н.} \cdot \text{см}^3/\text{кг} H_2O$ на рисунке 2 приведены квазизохоры.

Как следует из рисун-

ка, на всех изохорах наблюдается резкое увеличение $(\frac{\partial \rho}{\partial T})_v$ в области B . Причиной этого является переход системы в этой области из двухфазного (AB) в однофазное (BC) состояние, т.е. переход всего газа в раствор.

В экспериментах была исследована ρ , v , T , C область для системы $H_2O - N_2$ в диапазоне: температур – (293÷500) K; давлений – (0,5÷30) МПа; удельных объемов $(1,01 \div 1,07) \cdot 10^{-3} \text{ м}^3/\text{кг}$; концентраций – $(0 \div 1250) \text{ н.} \cdot \text{см}^3/\text{кг} H_2O$. Были получены также ρ , T – зависимости для растворов кислорода и аргона в воде.

В третьем разделе работы разработаны теоретические методы описания экспериментальных ρ , v , T , C – данных растворов газов в воде и данных о растворимости.

Данные по растворимости азота, кислорода и аргона в воде описаны зависимостью

$$C(\rho, T) = C_0(\rho) \sum_{i=0}^{j=2} \alpha_{ij} \cdot \tau^i \cdot \pi^{\frac{j}{2}} \quad (I)$$

где C_0 – выделенная часть барической зависимости растворимости, $\tau = T/T_{kp}$; $\pi = \rho/\rho_{kp}$.

Значения коэффициентов α_{ij} , полученные при описании экспериментальных данных, приведены в таблице I.

Таблица I

Коэффициенты α_{ij} уравнения (I)

$i \setminus j$	0	1	2	3
0	0,7246233	1,093784	-0,9661208	0,1743167
1	-2,736582	-1,790422	1,278514	-0,009764492
2	2,522256	1,000161	-0,3797568	-0,2333334

Среднеквадратичная погрешность расчета растворимости азота, кислорода и аргона в воде по отношению к экспериментальным данным приведена в таблице 2.

Большие значения величин максимальной погрешности объясняются различием экспериментальных данных разных авторов, в

некоторых точках до 56 %.

Таблица 2

Газ	Диапазон по Р, МПа	Диапазон по Т, К	Кол-во эксперим. точек	Среднекв. погрешн., %	Максим. погрешн., %
Азот	$10^{-3} \div 100$	$273 \div 613$	157	7,82	52
Кислород	$0,1 \div 21$	$273 \div 560$	216	7,34	34
Аргон	$0,1 \div 70$	$273 \div 347$	44	5,54	21

Экспериментальные Р, ν , Т, С - данные растворов азота в воде описаны уравнением состояния Гиршфельдера, имеющим вид:

$$\begin{aligned} \pi_1 &= \frac{\omega\tau(1+\beta)^3}{\beta(\beta-3)\omega^2 - (3\beta^2 - 6\beta - 1)\omega + \beta(3\beta - 1)} - \left(k_0 + \frac{\beta - k_0}{\tau}\right)\omega^2 - \\ &\quad - \frac{1}{2}\left(1 - k_0 - \alpha + 2\beta\right)\left(\tau - \frac{1}{\tau}\right)\omega^3 \text{ при } \omega \leq 1 \\ \pi_2 &= \tau + \left(\beta\tau - k_0 - \frac{\beta - k_0}{\tau}\right)\omega^2 - \frac{1}{2}\left(1 - k_0 - \alpha + 2\beta\right)\left(\tau - \frac{1}{\tau}\right)\omega^3 + \\ &\quad + S\tau \frac{(\omega-1)^5}{\omega} + (\tau-1)(\omega-1)^3 \left(\frac{h_0 + h_1\tau}{\omega} + h_2 + h_3\tau\right) \quad (2) \\ \pi_{12} &= \pi_1(\omega, \tau) - \pi_2(\omega, \tau) + \pi_3(\tau) \text{ при } \omega \geq 1, \tau \geq 1 \\ \pi_{12} &= \pi_1(\omega, \tau) - \pi_2(\omega, \tau) + \pi_3(\tau) \text{ при } \omega \geq 1, \tau \leq 1 \end{aligned}$$

где: $\pi = \frac{P}{P_{kp}}$ - приведенное давление; $\tau = \frac{T}{T_{kp}}$ - приведенная температура; $\omega = \frac{\rho}{\rho_{kp}}$ - приведенная плотность; $Z_{kp} = \beta(3\beta - 1)/(1 + \beta)^{-3}$; k_0 и α - параметры вещества.

Результаты описания табличных данных по чистым веществам уравнением (2) сведены в таблицу 3. При этом вводилась линейная зависимость k_0 и α от давления.

Экспериментальные данные по плотности растворов газов в воде описывались путем введения концентрационных поправок в коэффициенты k_0 и α в виде концентрационной функции

II

$$C^* = \frac{C}{C_{np}} / \left(\frac{C}{C_{np}} + \frac{A}{C_{np}} \right) \quad (3)$$

где $A_{12} = 23,5873$, C_{np} - предельная растворимость газа в воде при данных Р и Т.

Таблица 3

Вещество	Диапазон по Р, МПа	Диапазон по Т, К	Кол-во точек	Среднекв. погрешн., %	Максимальная погрешность по %
Вода	$10^{-3} \div 100$	$273 \div 633$	420	0,20	0,53
Азот	$10^{-3} \div 100$	$170 \div 1500$	560	2,13	5,52
Аргон	$10^{-3} \div 100$	$200 \div 1300$	144	2,59	6,67
Кислород	$10^{-3} \div 100$	$200 \div 1300$	144	1,91	4,28

Расчет термодинамических свойств растворов азота в воде производился по уравнению (2), где:

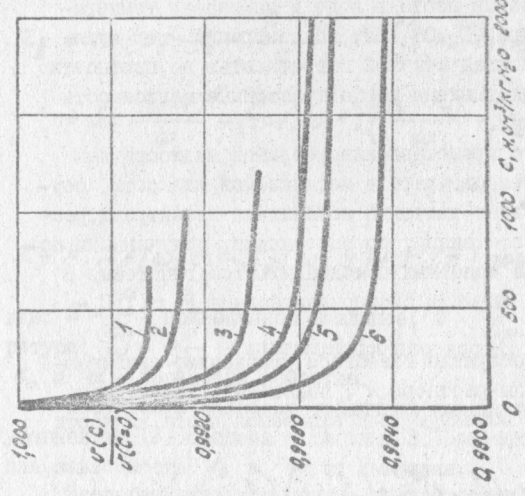
$$\begin{aligned} k_0 &= 6,673978 + \pi 0,276452 + C^* 0,9522568 \\ \alpha &= 9,397636 - \pi 0,8521974 - C^* 0,4852335 \end{aligned} \quad (4)$$

На основании уравнения состояния были рассчитаны таблицы удельных объемов, энталпии, энтропии, скорости звука и показателя изоэнтропии растворов азота в воде в диапазоне температур ($273 \div 560$) К; давлений (0-40) МПа; концентраций - от нуля до предельной, со среднеквадратичной погрешностью по плотности 0,2 %. На рисунке 3 представлены концентрационные зависимости термодинамических величин.

Проверка гипотезы о представлении реальной жидкости как слабого раствора собственного пара в нескимаемой жидкости, осуществлялась путем сравнения значений показателя изоэнтропии, рассчитанных по уравнению состояния, со значениями, полученными по методике базирующейся на основных положениях этой гипотезы. В обоих случаях исходными служили экспериментальные Р, ν , Т, С - данные.

Основой методики послужило известное уравнение, связывающее показатель изоэнтропии раствора k_r , показатель изоэнтропии растворенного газа k_p и объемную долю скимаемой части жидкости β_o (Р, Т):

$$\frac{k_r(k+1)-2k}{k_r-1} = k\beta_o \left[1 + \left(\frac{1}{\beta_o} - 1 \right)^2 \right] - 2 \left(\frac{1}{\epsilon} - 1 \right) \left(\frac{1}{\beta_o} - 1 \right), \quad (5)$$



а)

Рис. 3. Концентрационные зависимости а - удельного объема; б - энталпии; в - энтропии;
г - скорости звука для растворов азота в воде

1 - $P = 10$ МПа; $T = 373$ К;

2 - $P = 10$ МПа; $T = 473$ К;

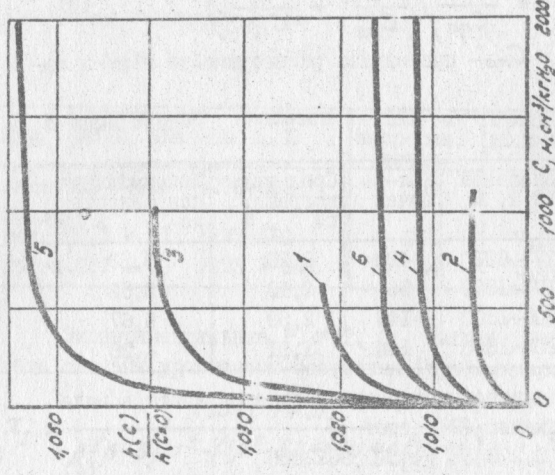
3 - $P = 20$ МПа; $T = 473$ К;

4 - $P = 20$ МПа; $T = 473$ К;

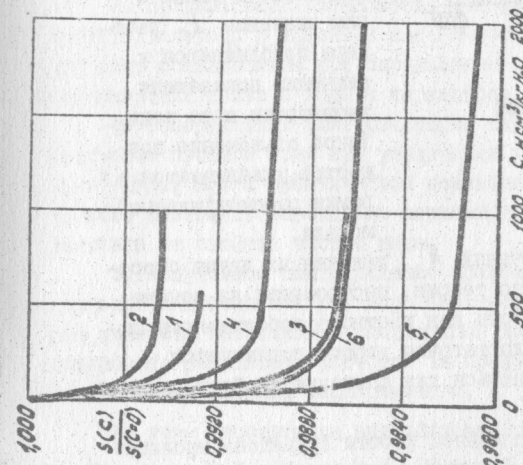
5 - $P = 30$ МПа; $T = 373$ К;

6 - $P = 30$ МПа; $T = 473$ К.

б)



г)



в)

1. - $P = 10$ МПа; $T = 373$ К;

2. - $P = 10$ МПа; $T = 473$ К;

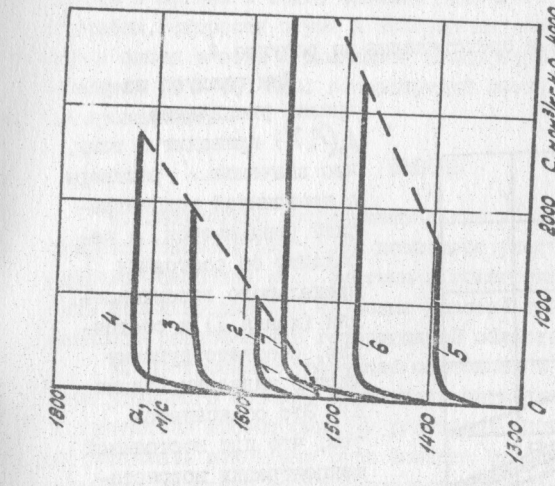
3. - $P = 20$ МПа; $T = 373$ К;

4. - $P = 20$ МПа; $T = 473$ К;

5. - $P = 30$ МПа; $T = 373$ К;

6. - $P = 30$ МПа; $T = 473$ К;

7. - $P = 30$ МПа; $T = 473$ К.



д)

1. - $P = 10$ МПа; $T = 373$ К;

2. - $P = 10$ МПа; $T = 373$ К;

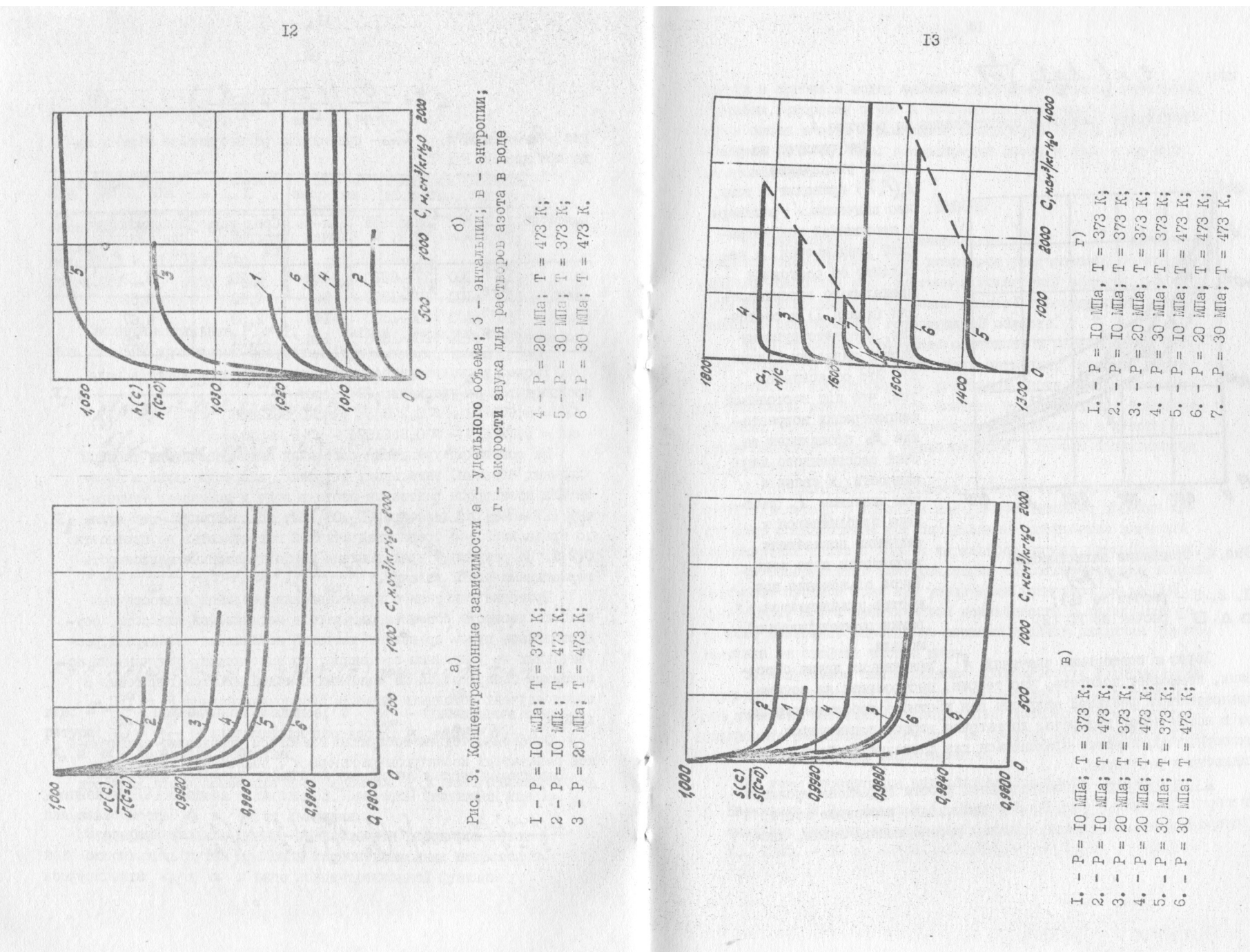
3. - $P = 20$ МПа; $T = 373$ К;

4. - $P = 20$ МПа; $T = 373$ К;

5. - $P = 30$ МПа; $T = 373$ К;

6. - $P = 30$ МПа; $T = 473$ К;

7. - $P = 30$ МПа; $T = 473$ К.



$$\text{где } \epsilon = \left(\frac{k+1}{2} \right)^{\frac{k}{k-1}}$$

Результаты сравнения представлены на рисунке 4.

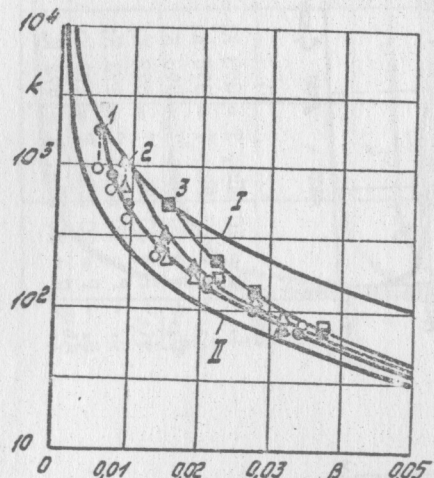


Рис.4. Сравнение зависимостей

$$k = f(\beta_0)$$

I, 2, 3 - расчет по (5);
○ △, □ - расчет по УС (2)

Хорошее совпадение значений k , полученных двумя способами, позволяет полагать, что теория, построенная на основе представлений реальной жидкости как раствора собственного пара в нескимиаемой жидкости, достаточно хорошо согласуется с экспериментом и может применяться для описания свойств газожидкостных растворов.

В Приложениях диссертационной работы приведены таблицы экспериментальных P, σ, T, C - данных для растворов азота, кислорода и аргона в воде; таблицы растворимости азота, кис-

лорода и аргона в воде; таблицы удельного объема, энталпии, энтропии, скорости звука и показателя изоэнтропии для растворов азота в воде в диапазоне температур (273 ± 560) К; давлений (0 ± 40) МПа; концентраций азота в воде - от нуля до предельной.

ВЫВОДЫ

1. Полученные экспериментальные P, σ, T, C - данные для бинарной системы азот-вода позволяют рассчитывать термодинамические свойства этой системы в гомогенной области, могут быть использованы при изучении условий газовыделения и линий фазового равновесия в гетерогенной области.

2. Построенное уравнение состояния и рассчитанные таблицы удельного объема, энталпии, энтропии, скорости звука и показателя изоэнтропии для растворов азота в воде позволяют учитывать изменение этих свойств при проведении теплотехнических расчетов энергетического оборудования с потоками газонасыщенного водяного теплоносителя и систем безопасности энергетических установок.

3. Предложенная зависимость для расчета растворимости азота, кислорода и аргона в воде и рассчитанные таблицы могут быть использованы при определении критических значений концентрации газов в воде и параметров начала газовыделения.

4. Оснаруженный факт изменения термодинамических свойств растворов азота в воде при увеличении концентрации до 500 н.см³ N₂/кг H₂O и практической неизменности с дальнейшим ее ростом, позволяет определить верхнюю границу различия свойств раствора от свойств чистой воды.

5. Полученное подтверждение правомерности представления реальной жидкости как раствора собственного пара в нескимиаемой жидкости позволяет с достаточной достоверностью экстраполировать результаты расчетов за пределы области параметров состояния охваченных экспериментом.

По теме диссертации опубликованы следующие работы:

1. Бараненко В.И., Мороз Н.П., Гонтарук И.Г. О расчете парциальных мольных объемов растворенных в жидкостях газов. К., 1985. - 23 с. - Деп. в УкрНИИТИ 20.II.85., № 2593 -

XV 980

Інститут холода
ОНАХТ
бібліотека

Ук.

2. Бараненко В.И., Гонтарук И.Г. О влиянии внутреннего давления на растворимость газов в воде при атмосферном давлении // Ж.Ф.Х. - 1986. - Т.60, № 9. - С. 2320 - 2322.
3. Фисенко В.В., Гонтарук И.Г. Определение концентрации газа в жидким теплоносителе // Пром. теплоэнергетика. - 1988. - Т.10 № 3. - С. 80-83.
4. Гонтарук И.Г., Барышев В.П. Экспериментальная установка для исследования скорости звука и $\rho - V - T - N$ - зависимости сложных систем // Ж.Ф.Х. - 1988. - Т. 62, № 3. - С. 858-860.
5. Фисенко В.В., Барышев В.П., Гонтарук И.Г., Гонтарук Г.Е. Теплофизические свойства растворов N_2, O_2, Ar в воде // Метастабильные фазовые состояния - теплофизические свойства и кинетика релаксации: Тез. докл. II Всесоюзн. совещания. II - 13 апреля 1989 г. - Свердловск, 1989. - С. 169-170.

УСЛОВНЫЕ ОБОЗНАЧЕНИЯ

$a_{i,j}$ - коэффициенты уравнения растворимости; A_0 - объемная доля сжимаемой части жидкости; C - растворимость; c_0 - барическая составляющая растворимости; α, k_0 - параметры вещества; k, k_p - показатель изоэнтропы раствора и растворенного газа соответственно; ρ - давление; T - температура; v - удельный объем; P_k, T_k, ρ_k - критическое давление, температура и плотность, соответственно; P_s, T_s - давление и температура на линии насыщения; Z_k - сжимаемость в критической точке.